

1/24

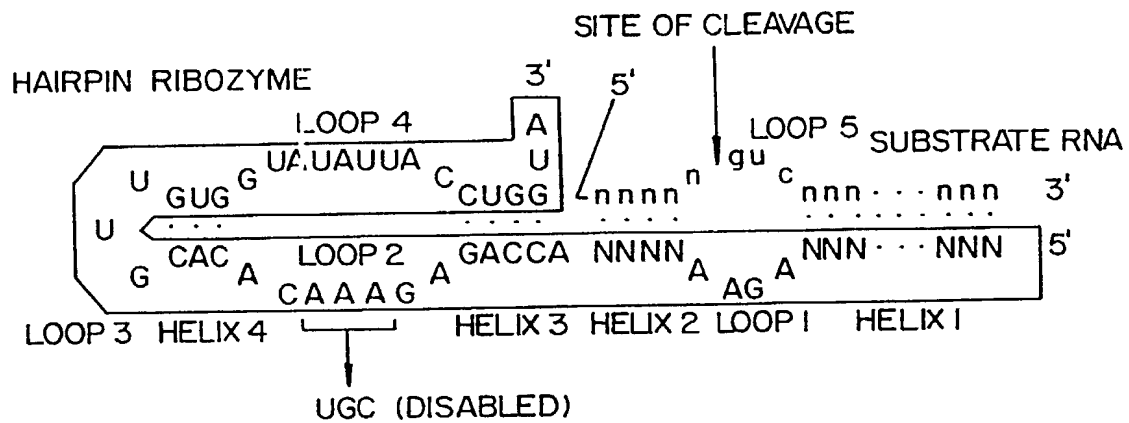


FIG. 1.

2/24

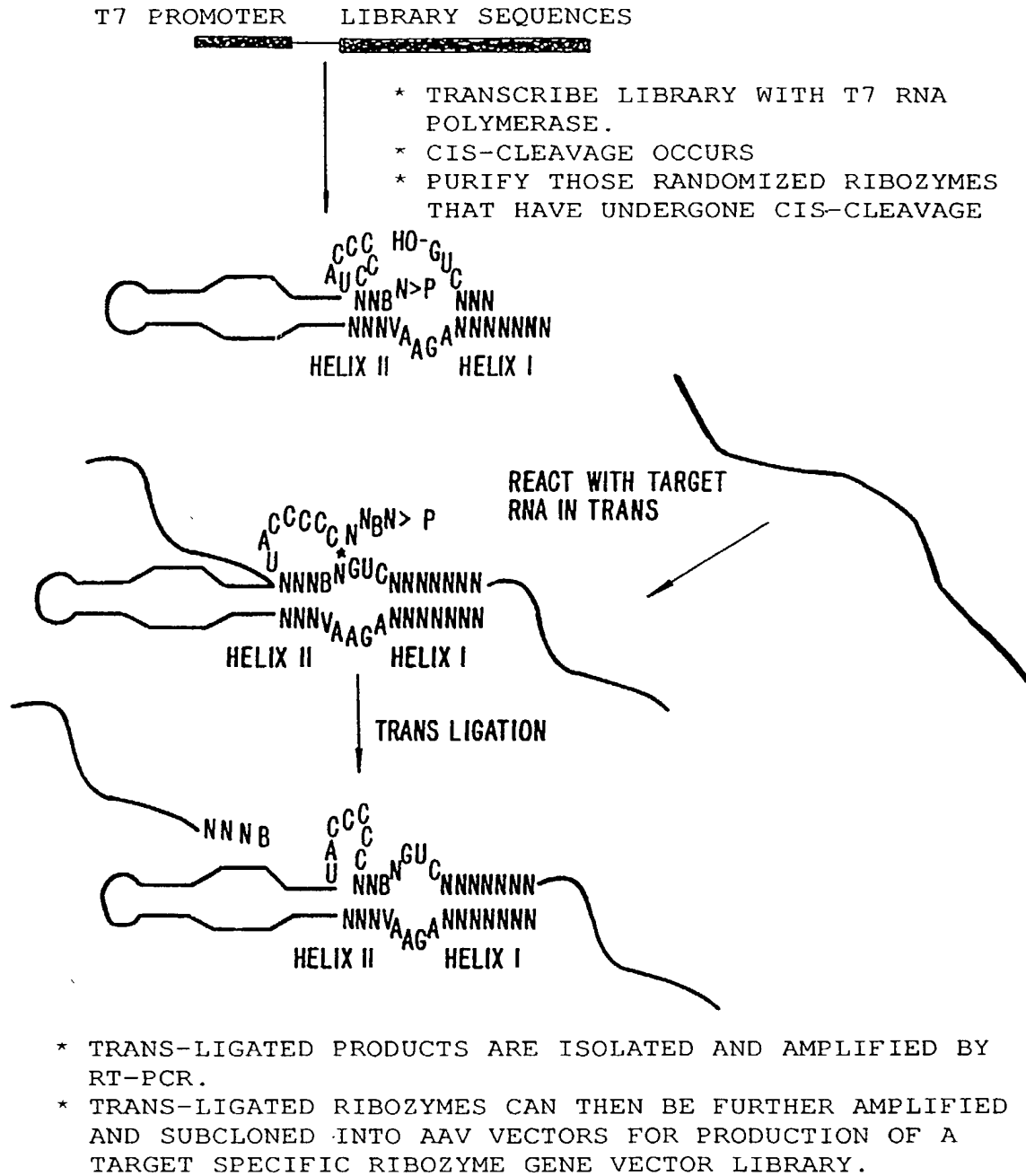
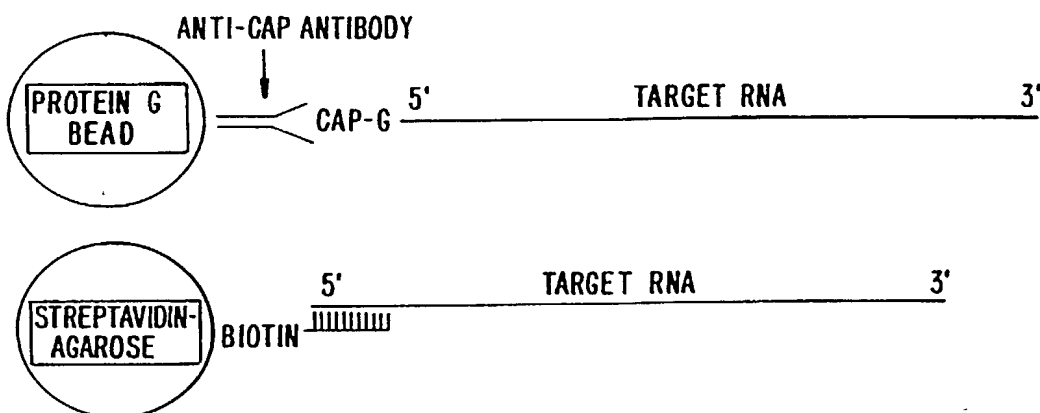


FIG. 2.

3/24

BINDING TARGET RNA AT 5' END:



BINDING TARGET RNA AT 3' END:

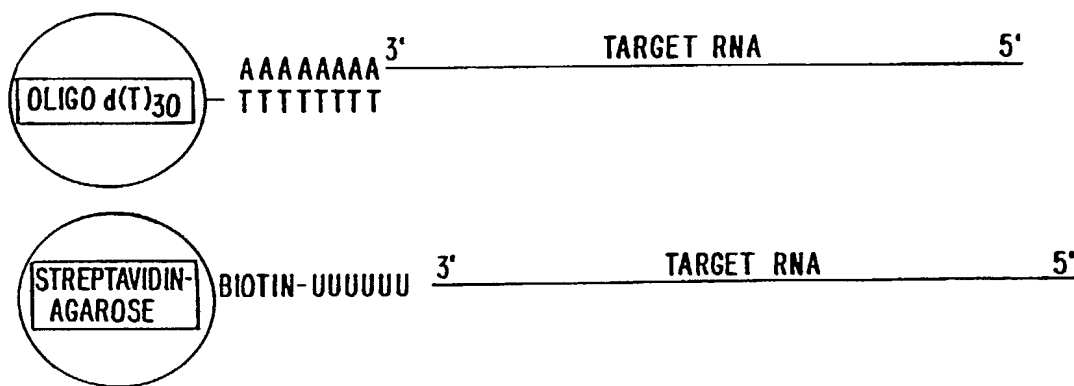


FIG. 3.

4/24

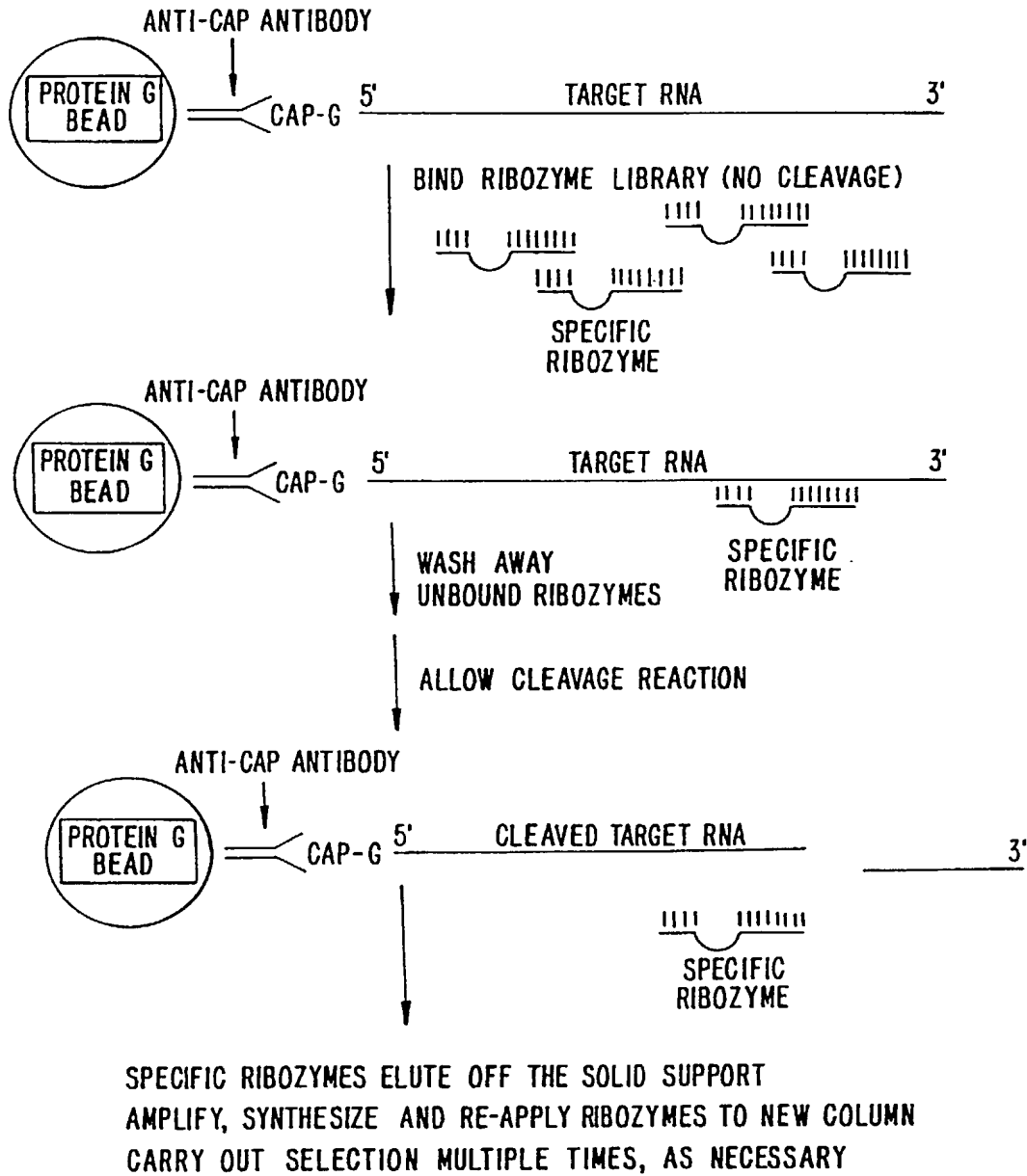


FIG. 4.

5/24

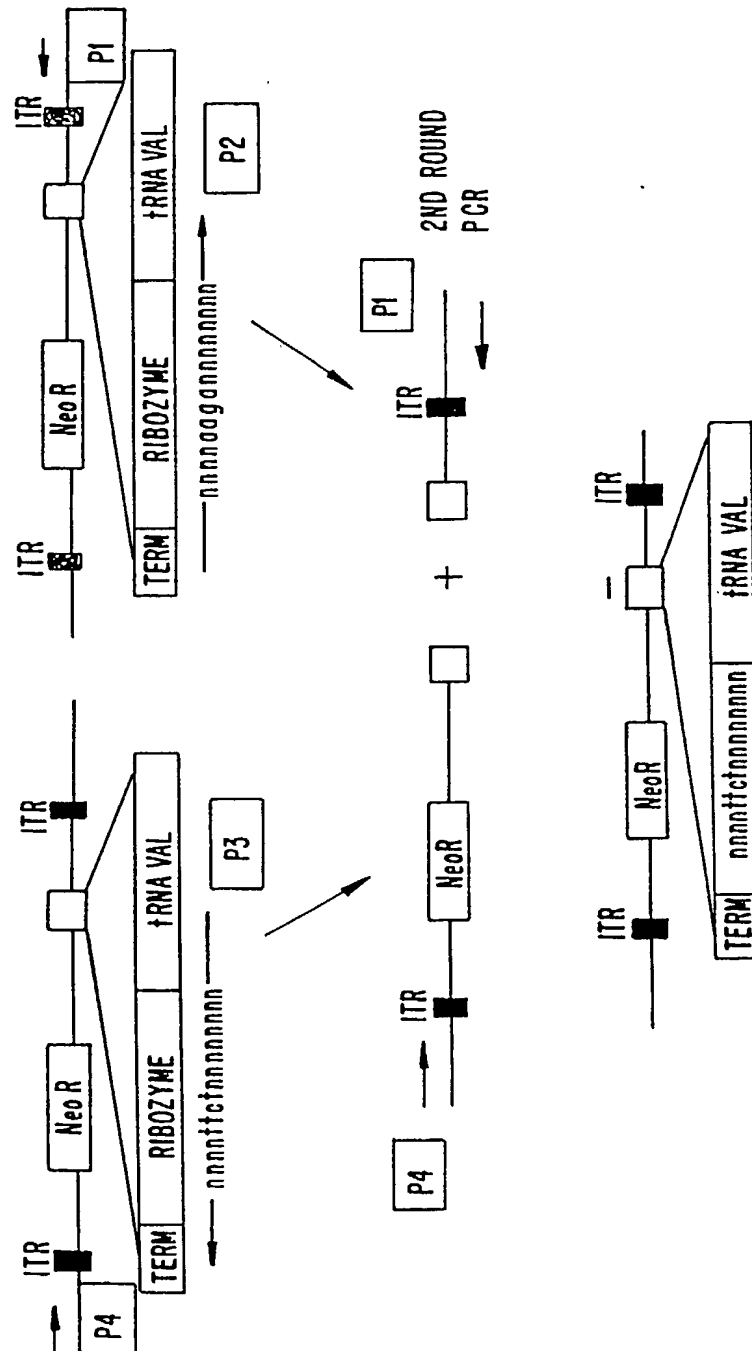
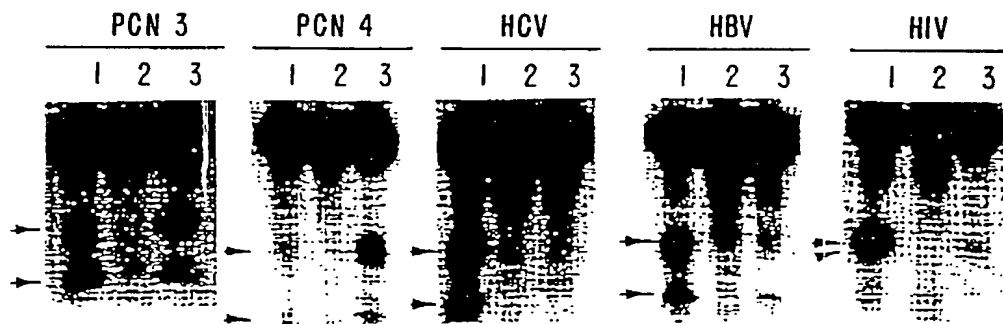


FIG. 5.

6/24



1. CONTROL-RIBOZYME
2. NEGATIVE CONTROL
3. AAV-RIBOZYME-LIBRARY

FIG. 6.

7/24

p1014/2kb

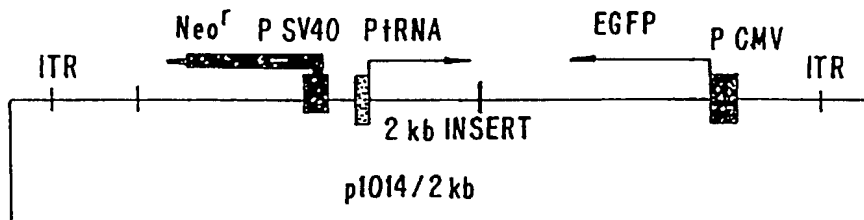


FIG. 7.

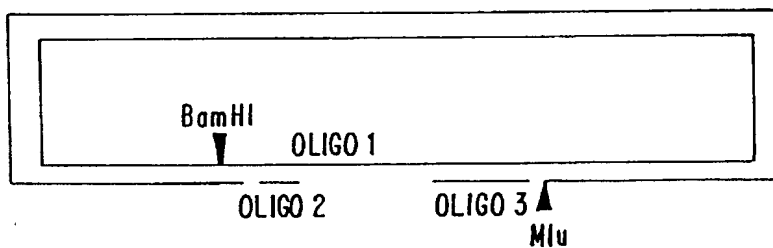


FIG. 8.

8/24

pAAV-HYGRO-PGK

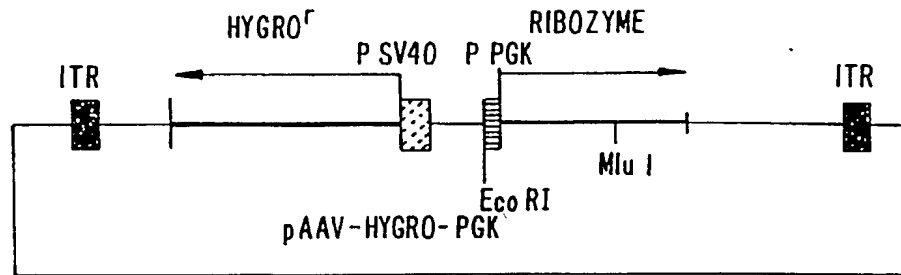


FIG. 9.

pPOL II/PGK MUS/NEO

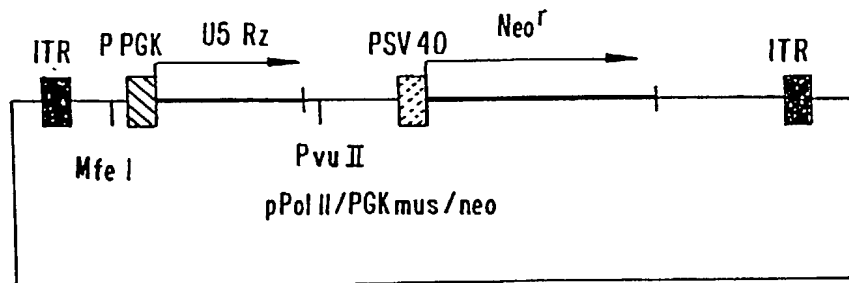


FIG. 10.

9/24

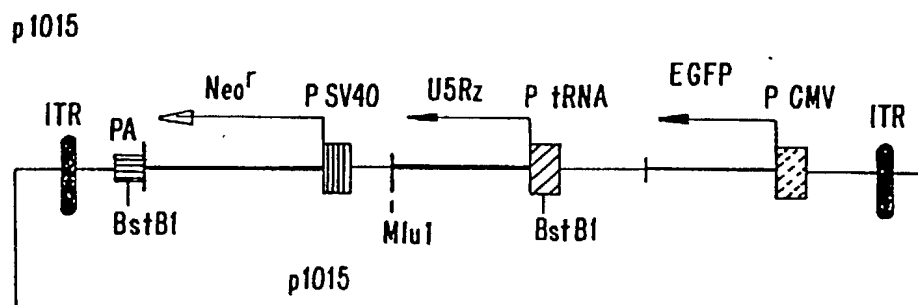


FIG. 11.

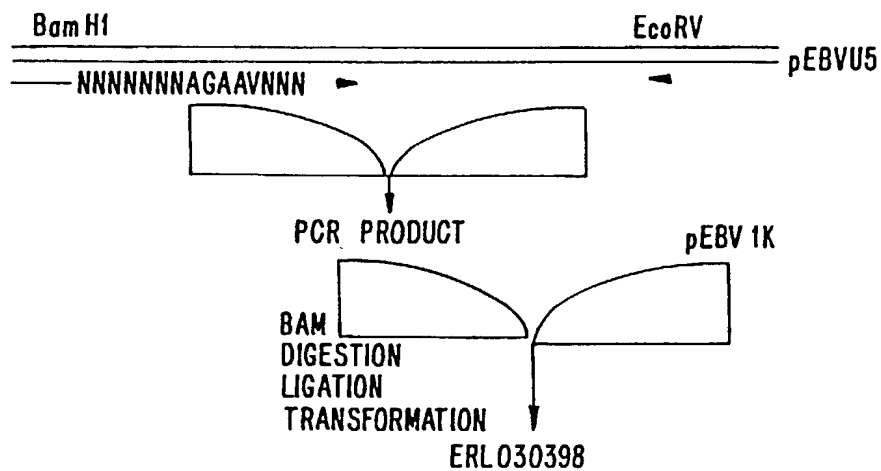


FIG. 12.

11/24

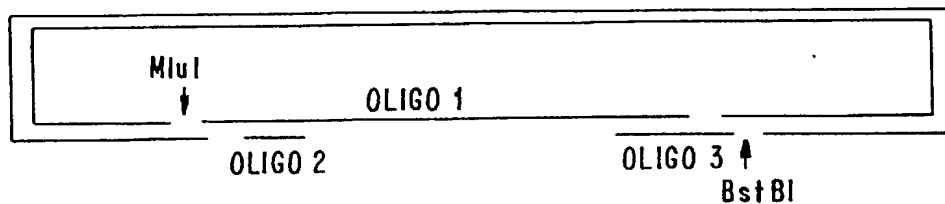


FIG. 14.

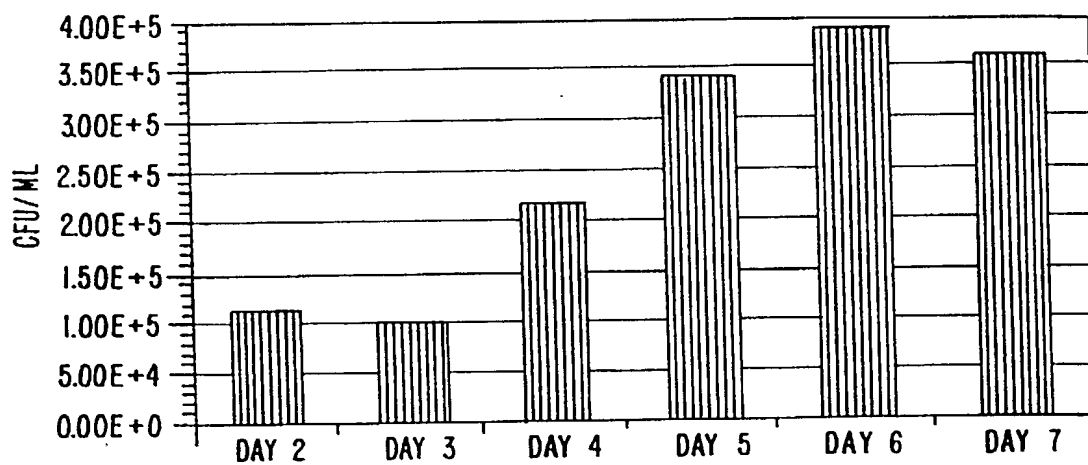


FIG. 15.

12/24

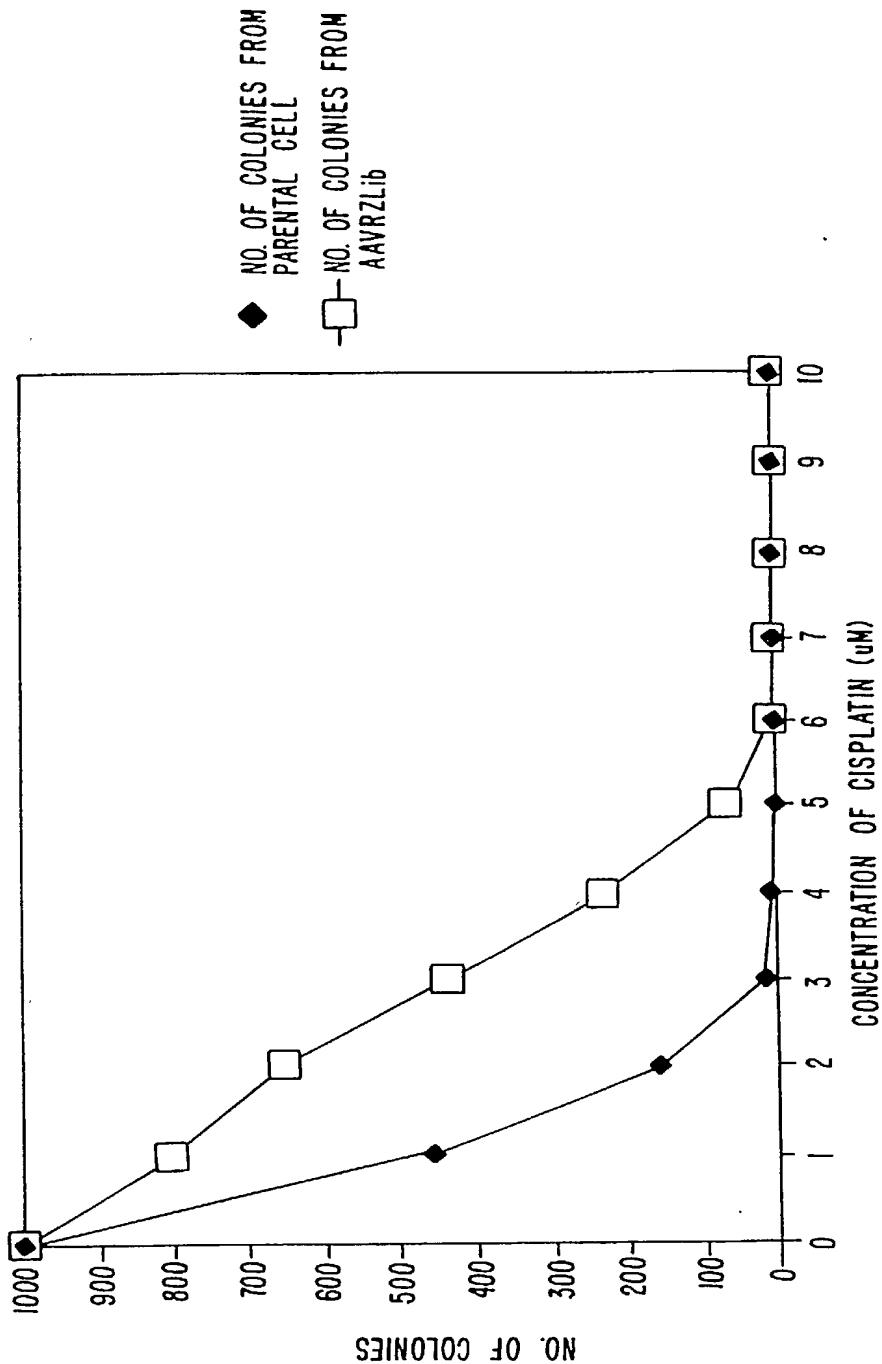


FIG. 16.

13/24

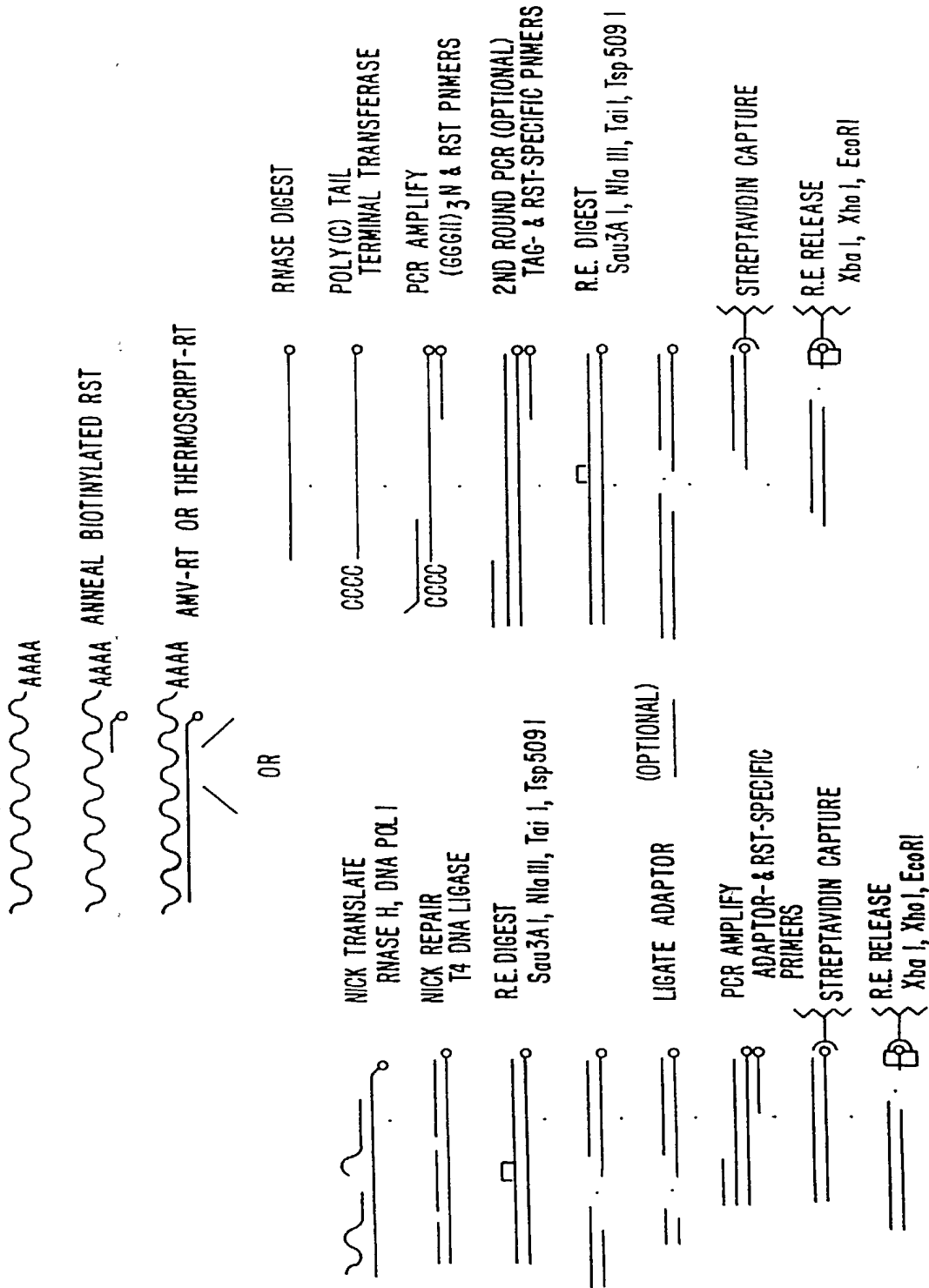


FIG. 17.

14/24

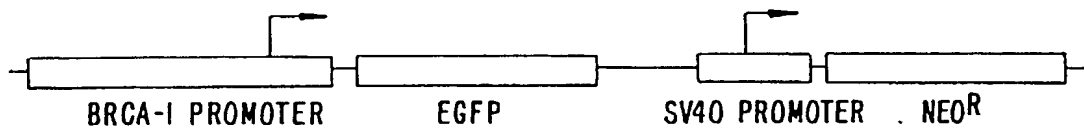


FIG. 18.

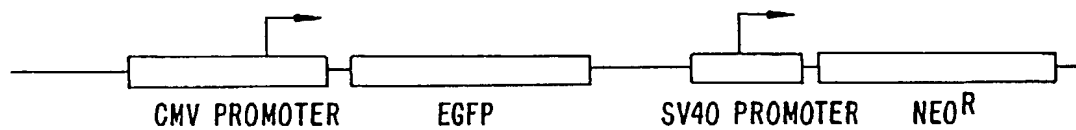


FIG. 19.

15/24

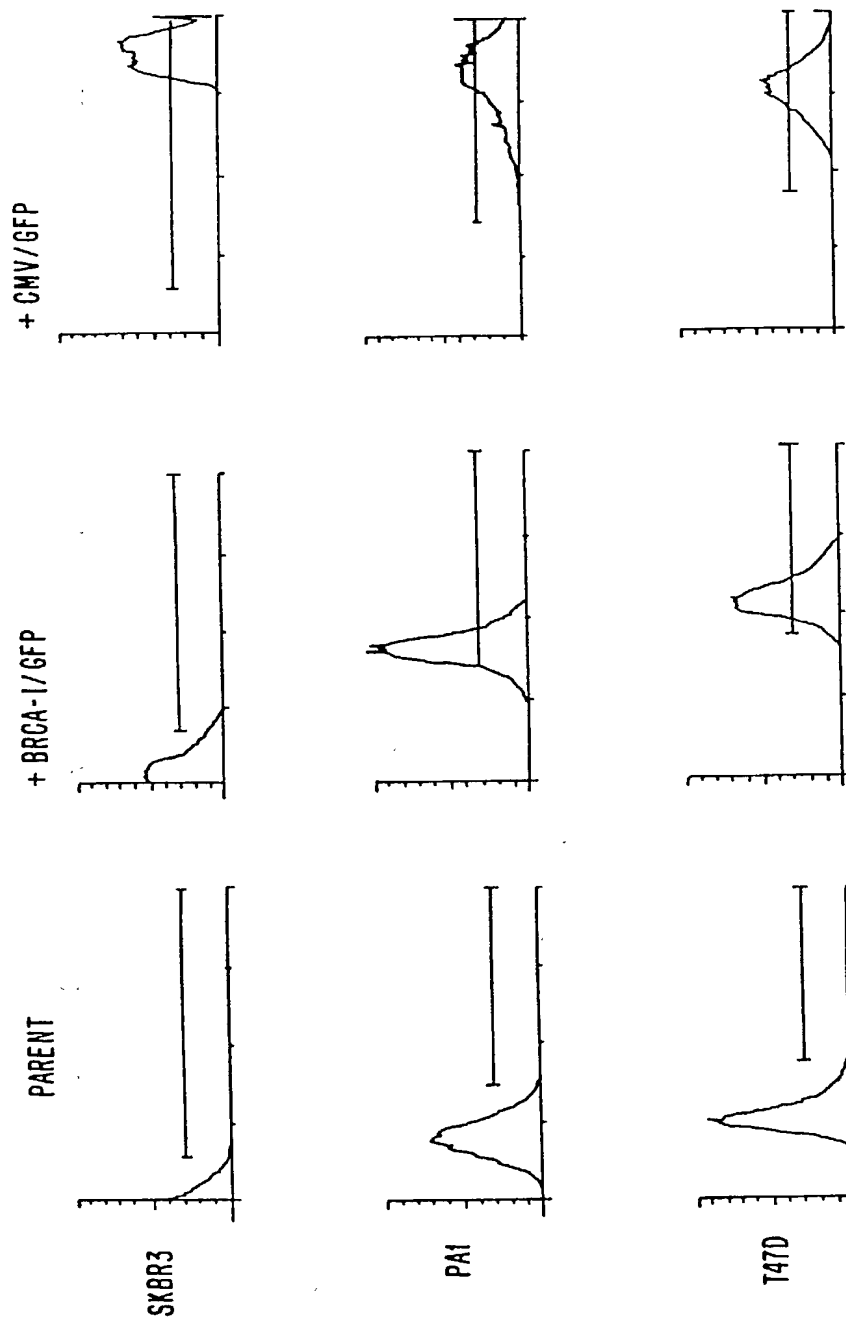


FIG. 20.

16/24

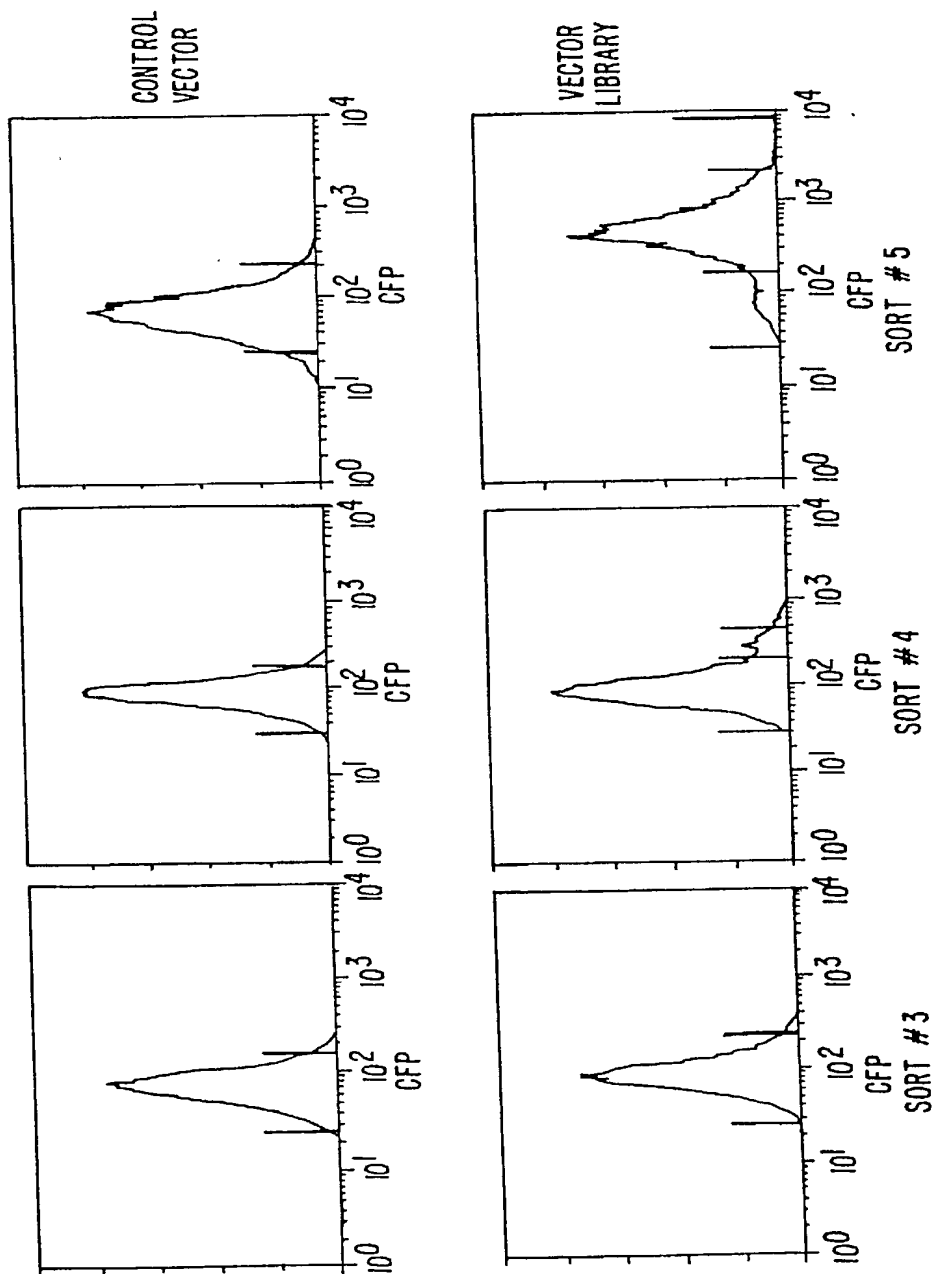


FIG. 21.

17/24

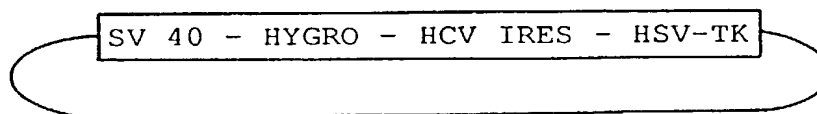


FIG. 22.

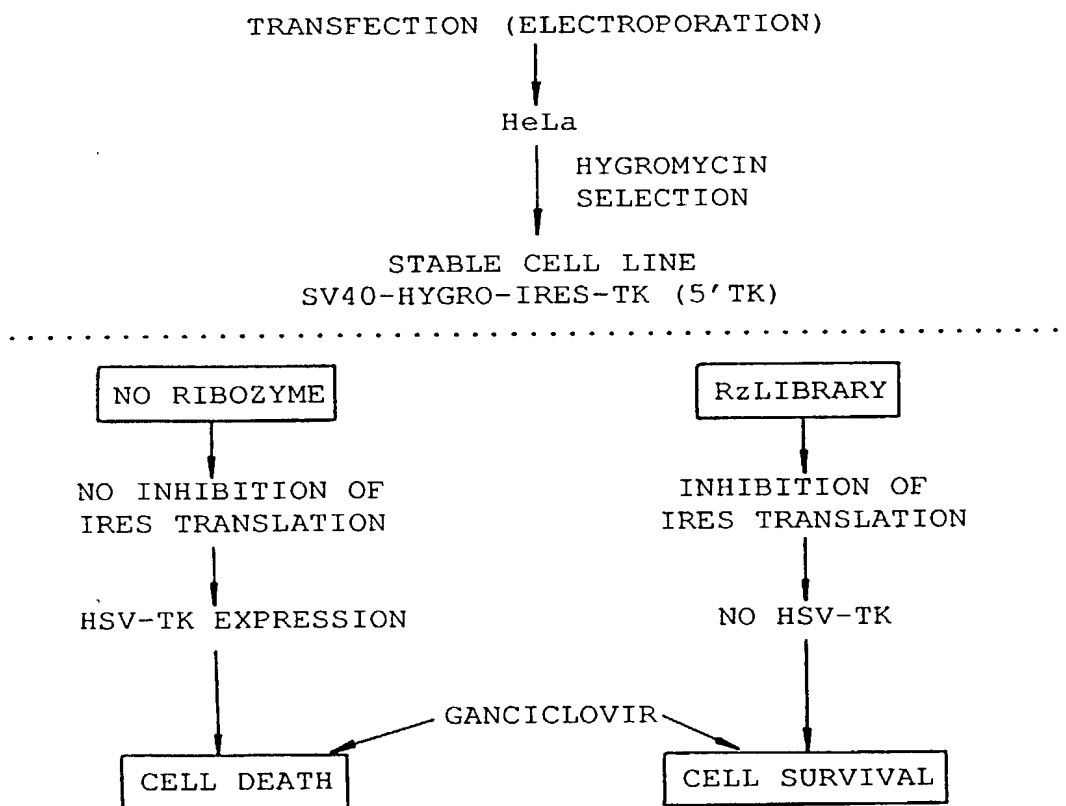


FIG. 23.

18/24

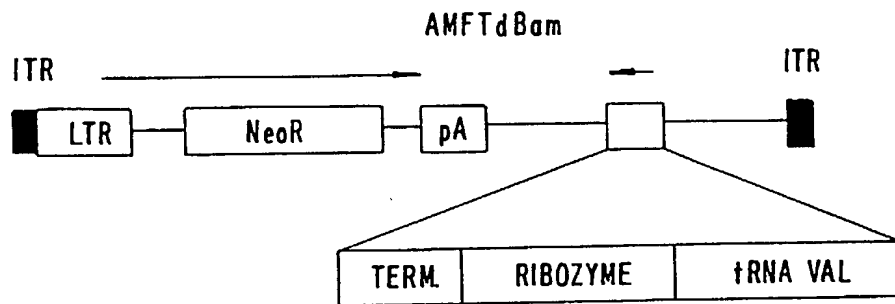


FIG. 24.

19/24

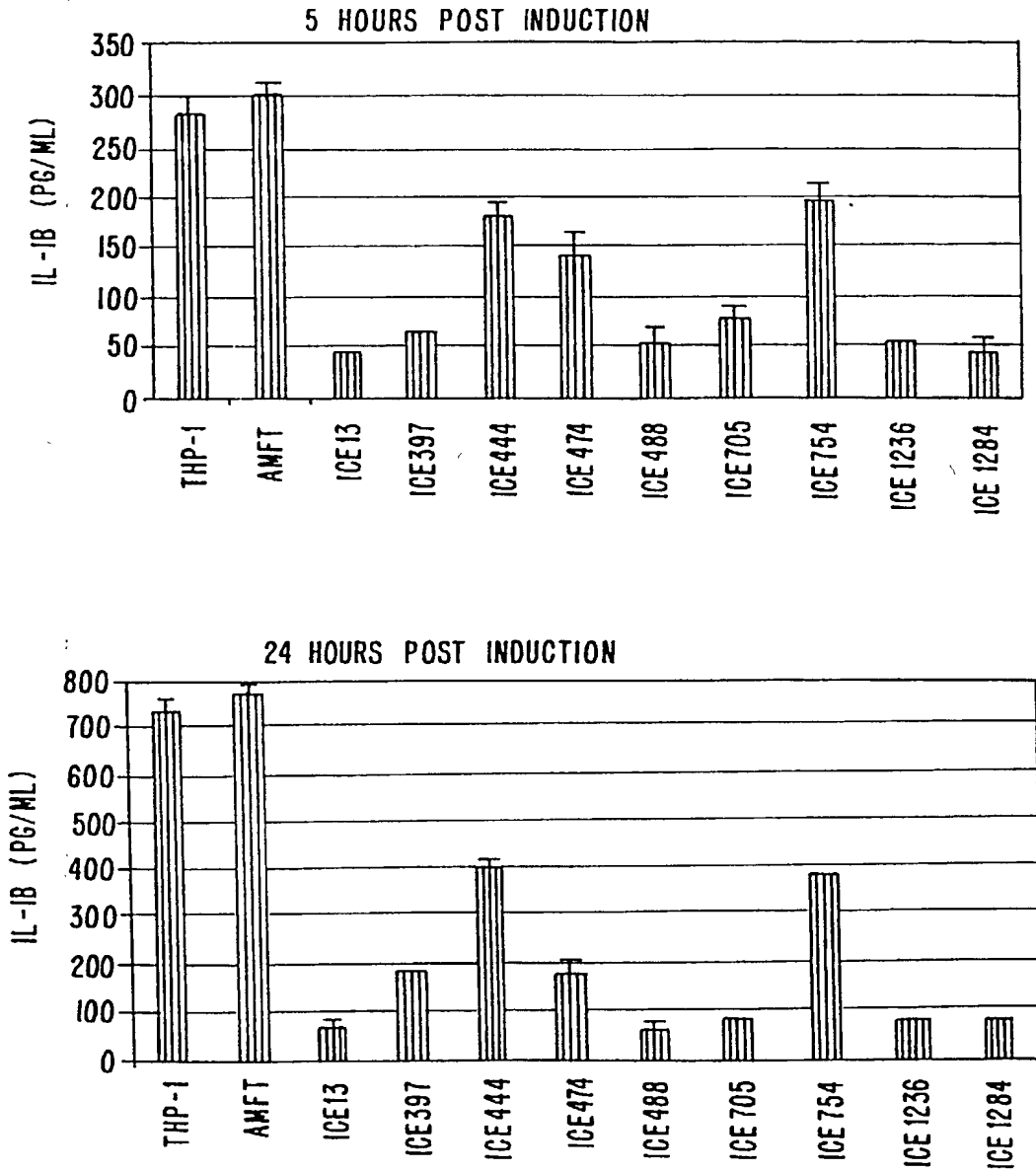


FIG. 25.

20/24

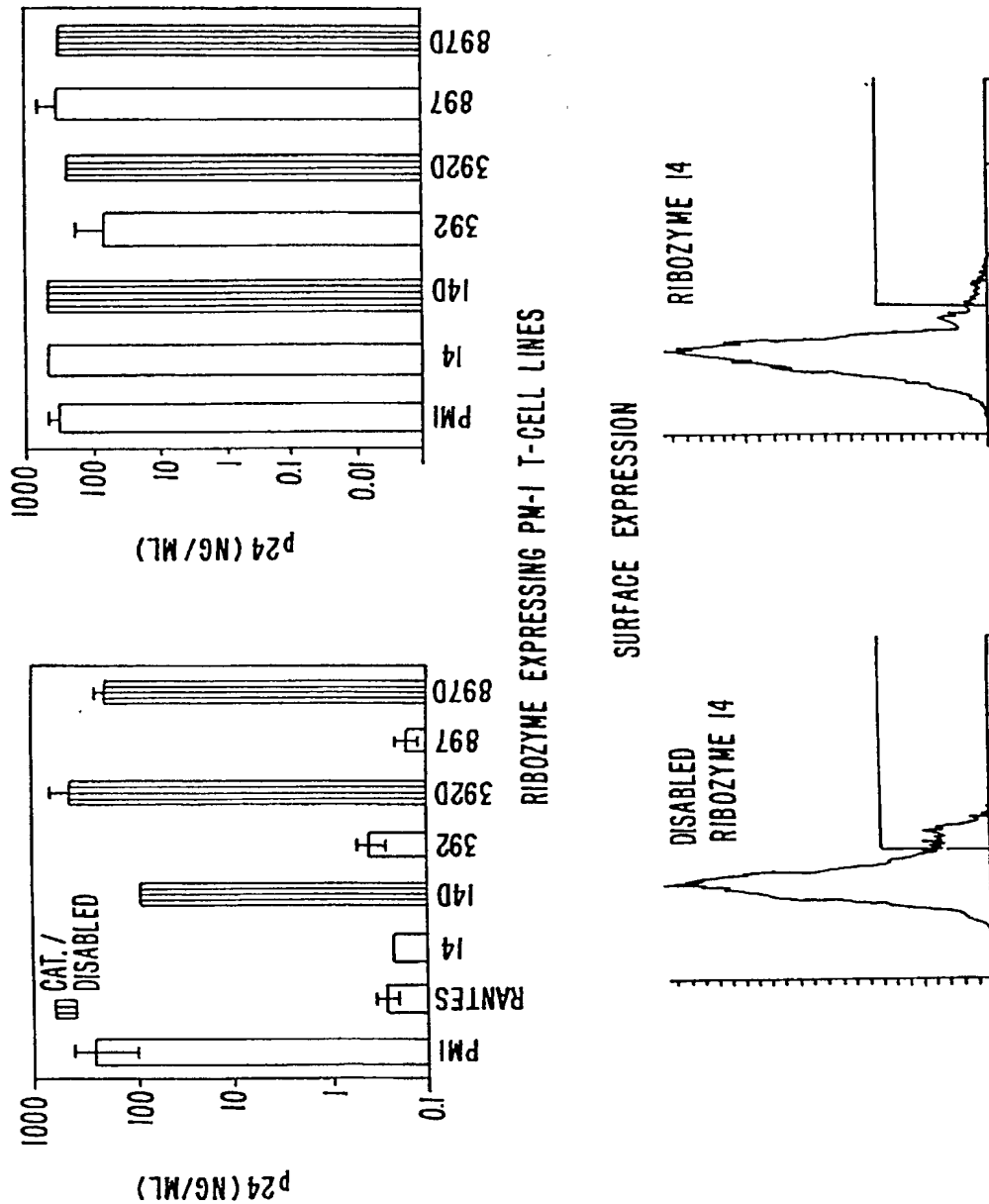


FIG. 26.

21/24

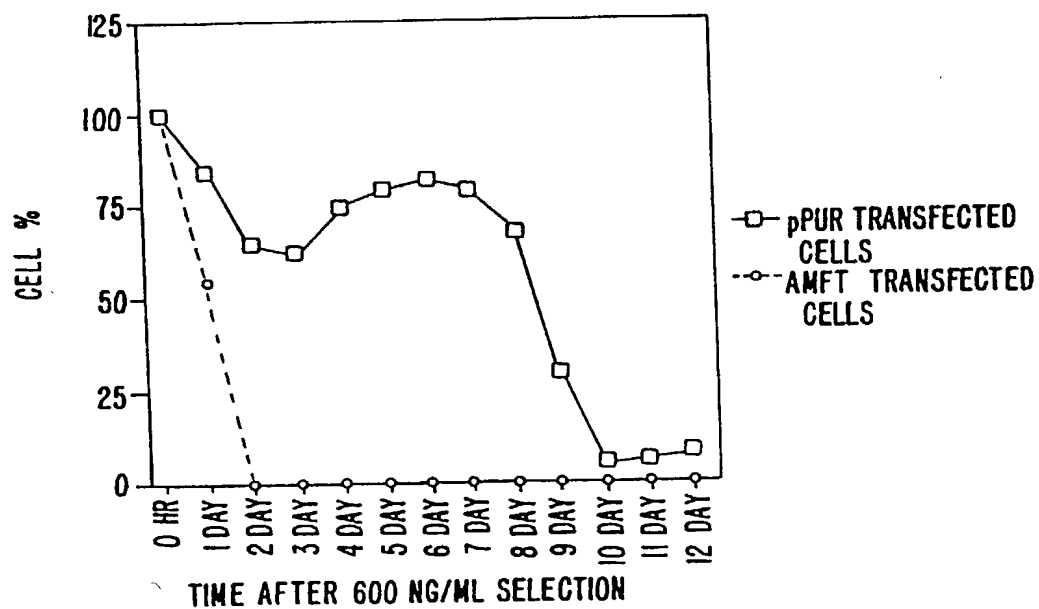
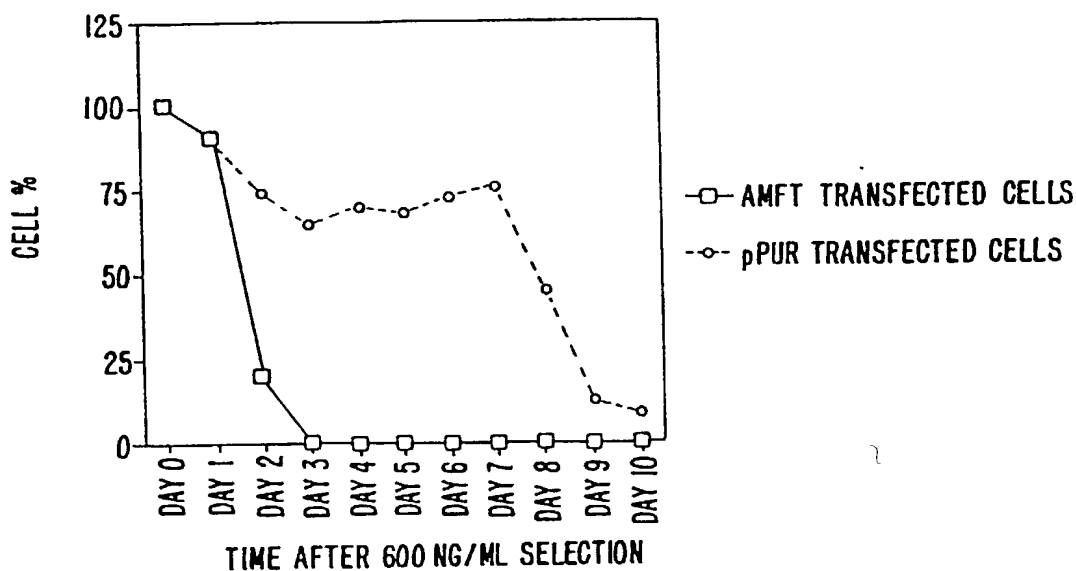


FIG. 27.

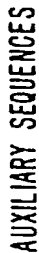


FIG. 28.

23/24

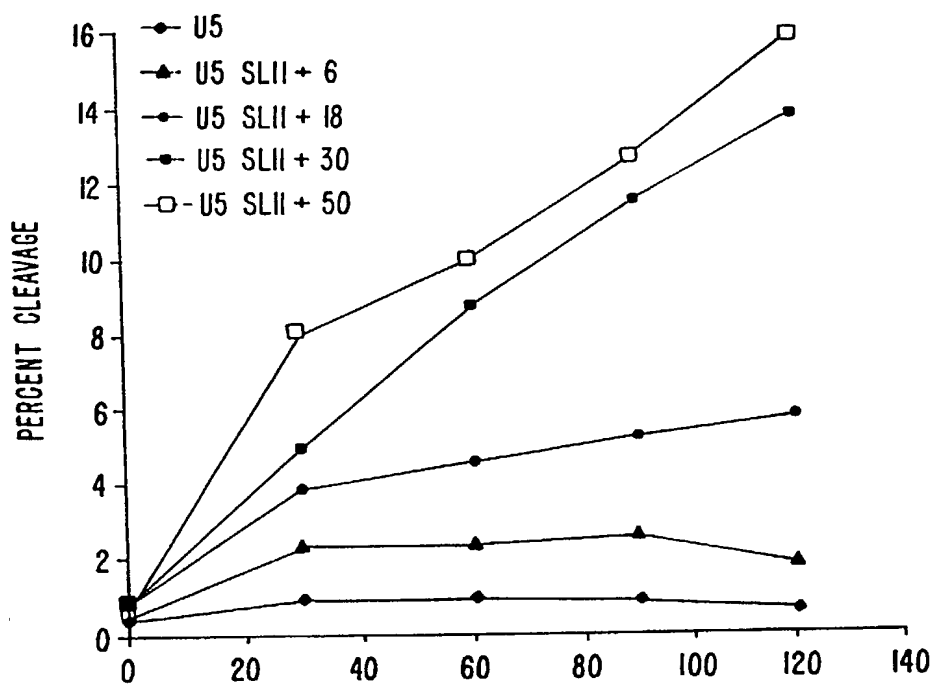


FIG. 29.

24/24

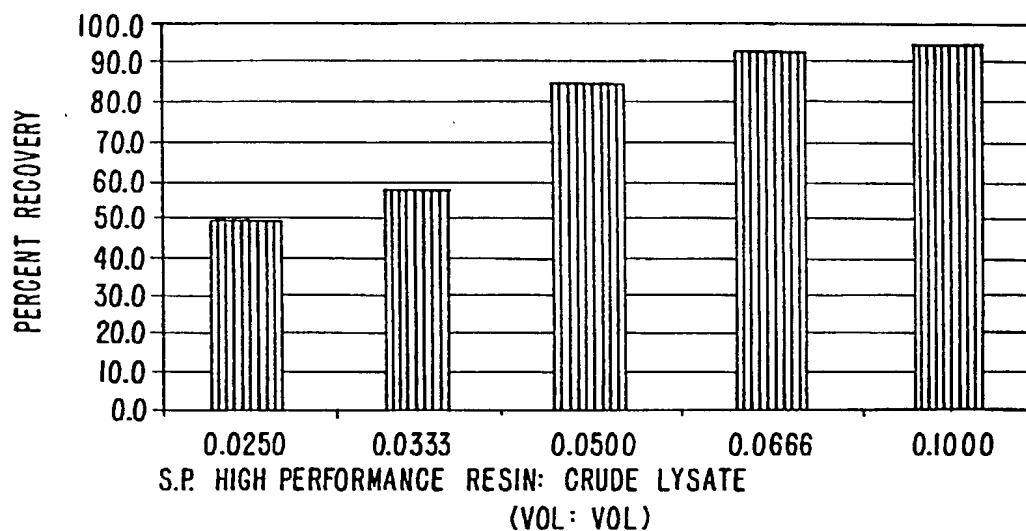


FIG. 30.